

ЧТО ДЕТЕКТИРУЕТ ПРИБОР ИГА-1 И ЕГО АНАЛОГИ? ЭФФЕКТЫ И ГИПОТЕЗЫ

А.А.Андреев¹, В.А.Жигалов², Ю.П.Кравченко³, М.Кринкер⁴

¹ИЦ «Ровно-Суренж», г.Ровно, Украина, surenzh1@ukr.net

²Проект «Вторая физика», zhigalov@gmail.com

³Медико-экологическая фирма "Лайт-2", г. Уфа, astra.47@mail.ru

⁴City College of Technology, Department of Electrical Engineering, CUNY, New York, USA, mkrinker@aol.com

Настоящая статья рассматривает ряд эффектов, выявленных авторами при работе с тремя устройствами-датчиками сверхслабых излучений - ИГА-1, ВЕГА, SEVA, а также поднимает ряд вопросов, связанных с этими эффектами. Выдвигается ряд гипотез, объясняющих чувствительность приборов к тонко-полевым феноменам.

The paper deals with a row of phenomena, revealed by the authors while working with three devices-sensors of ultra weak irradiations - IGA-1, VEGA, SEVA, and raises the issues, related to these phenomena, as well. The number of new hypotheses, explaining sensitivity of the instruments to subtle-field phenomena, has been forward.

Введение

Проблема детектирования торсионных полей является предметом оживлённых дискуссий. В качестве датчиков и индикаторов торсионного излучения применяется множество устройств и физических процессов. Один из широко используемых сейчас устройств – ИГА-1, мелкосерийно выпускаемый фирмой «Лайт-2» (г.Уфа). Этот прибор реагирует на излучение торсионных генераторов, геопатогенные зоны, биополе человека, но принцип детектирования (предположительно) торсионных полей при помощи ИГА-1 остаётся неясным.

Настоящая статья рассматривает ряд эффектов, выявленных авторами при работе с тремя устройствами-датчиками - ИГА-1, ВЕГА, SEVA, а также поднимает ряд вопросов, связанных с этими эффектами.

Каждый из эффектов сам по себе довольно интересен, а складывающаяся из этих эффектов картина выглядит чрезвычайно странно с точки зрения общепринятой физики. В то же время рассматриваемые устройства активно используются в различных областях, и выяснение того, на чём основаны эти эффекты, представляет не только научный, но и практический интерес. Данная работа является статьёй-рассуждением и отражает состояние исследования in progress.

Устройство и принцип работы приборов

Вначале кратко опишем устройство обсуждаемых приборов.

ИГА-1 (Индикатор Геомагнитных Аномалий, изобретатель - Ю.П.Кравченко) представляет собой высокочувствительный приёмник, в котором измеряется фазовый сдвиг принимаемого электромагнитного сигнала на некоторой частоте по сравнению с эталонным [1, 2]. Стрелочный либо цифровой индикатор показывает интеграл сдвига фаз. Первоначально прибор использовался для исследования металлов как средство неразрушаемого контроля в авиапромышленности. За двадцать лет мелкосерийного выпуска этого прибора он показал свою эффективность как геофизический прибор (поиск пустот, трубопроводов, других неоднородностей и аномалий под землёй), а также как прибор медицинской диагностики (с помощью него можно диагностировать изменение размера и формы оболочек биополя человека). Также прибор используется для испытания торсионных генераторов и различных вихревых устройств [3]. Особенностью прибора является то, что частота, на которой работает измерение сдвига фаз - около 6-10 кГц (настраивается в зависимости от применения прибора), а размер антенны - порядка 10 см.

ВЕГА (Вимірювач Електромагнітних Геофізичних Аномалій¹, изобретатель - А.А.Андреев) также представляет собой высокочувствительный приёмник, входной каскад которого принимает сигналы от коаксиальной антенны примерно того же размера, что и антенна ИГА-1, и с которого в дальнейшем снимается сигнал в области до 10 кГц для последующей обработки [4]. В отличие от ИГА-1, ВЕГА измеряет амплитуду сигнала, а не фазовый сдвиг. При этом основные эффекты, которые можно исследовать с помощью ВЕГА, совпадают с исследуемыми ИГА-1: геопатогенные зоны, в т.ч. сетки, оболочки биополя человека и других живых объектов.

SEVA (Spinning Electro Vector Analyzer², Рис. 1, изобретатель - М.Кринкер) позволяет детектировать вращение вектора электрического поля. Антенной прибора служат две перпендикулярные пары пластин (квадрупольный конденсатор), на выходе прибора измеряется интегральная величина, пропорциональная скорости вращения, и площади, заметаемой вектором электрического поля [5, 6, 7, 8, 9]. С помощью этого прибора можно исследовать зоны аномалий над подземными водными потоками, детектировать лучи, в т.ч. фантомные, от торсионных генераторов. Прибор имеет дополнительный тракт сверхнизких частот.

¹ Измеритель электромагнитных геофизических аномалий (укр.)

² Кроме того, *seva* на санскрите означает «бескорыстное служение людям».

Таким образом, все три прибора конструктивно представляют собой несколько необычно сконфигурированные приёмники электромагнитного излучения³. На первый взгляд, непосредственно изучаемый ими объект - фоновое электромагнитное излучение.



Рис. 1. Прибор SEVA.

Эффекты

Теперь рассмотрим, какие эффекты замечены при многолетней эксплуатации этих приборов. Прежде всего, данные датчики явно реагируют на те же факторы, на которые реагируют операторы биолокации: подземные аномалии, геопатогенные зоны (ГПЗ), сетки, биополе, излучение торсионных генераторов. Это позволяет использовать их иногда как дополнение, иногда как замену человека с биолокационной рамкой, повышая объективность получаемых результатов.

Направление антенны

Первая особенность: все три прибора реагируют на направление изучаемых факторов, т.е. показания приборов меняются в зависимости от направления их антенн: для поиска геопатогенных зон антенна направлена вертикально (смотрит вниз), для исследования биополя человека – горизонтально (направлена на человека). Более того, авторами устройств замечен следующий эффект: некоторая аномалия (например, узел геопатогенной сетки), замечаемая при прямом горизонтальном движении оператора с прибором через аномалию, при обратном движении замечается только при повороте антенны.

³ Разработчики ВЕГА и SEVA до разработки своих приборов имели опыт работы с прибором ИГА-1 и давали рекомендации по его модернизации.

Осесимметричная конструкция антенн позволяет рассматривать изучаемый фактор как имеющий некоторое направление.

Полировка антенны

Второй, довольно загадочный эффект, связанный, главным образом, с ИГА-1. Чувствительность антенны прибора (Рис. 2) существенно возрастает в случае её полировки. Более того, чувствительность антенн из полированной дюралюминия намного больше чувствительности антенн из полированной бронзы.



Рис. 2. ИГА-1 с полированной антенной.

Форма и размер антенн

Особенностью прибора ВЕГА является то, что его антенна представляет собой коаксиальный конденсатор. При установке такой антенны на ИГА-1 замечаются те же эффекты, что и для ВЕГА⁴. Кроме того, чувствительность антенны по отношению к различным видам объектов существенно зависит от её геометрических размеров - не случайно антенна ВЕГА сделана телескопической. Антенна ИГА-1 топологически схожа с антенной ВЕГА, хотя её конденсатор получается открытым. ВЕГА также хорошо работает с антенной

⁴ Коаксиальная антенна используется также в приборе поиска геопатогенных зон «Рада-7» В.А.Некрасова - <http://poleforma.com/ru/products/second>.

ИГА-1 (полированной)⁵.

Необходимо отметить следующий парадокс: длина электромагнитных волн в рабочем диапазоне приборов - порядка 40 км, что несоотносимо с размерами их антенн (~10 см).

Известны факты использования прибора ИГА-1 с конструкциями торсионных антенн в виде «ёлочки», аналогичным используемым в торсиметрах В.Т.Шкатова [21].

Частотная селективность

Помимо размера антенны, авторами замечено, что чувствительность приборов по отношению к видам изучаемых объектов зависит от рабочей частоты. Для ИГА-1 настройка на частоту идёт в процессе заводской регулировки и в дальнейшем не меняется - так прибор настраивается на предпочтительные объекты исследований (например, для поиска трубопроводов и измерения биополей требуется разная частота). При исследовании металлов с помощью ИГА-1 снимались фазочастотные характеристики в диапазоне 1...12 кГц с шагом 0,5 Гц, позволяющие отличать металлы даже по плавке (партии) [10], а при измерении биополей в первых фазоурометрах снимались топокартины биополей на частотах 5...15 кГц. ВЕГА, снабжённый перестраиваемым фильтром 4 - 12 кГц, можно настраивать плавно на измерение полей различных объектов. ВЕГА, на выход которого подключён частотомер, позволяет строить распределение частот в профилях линий ГПЗ, а также биополей человека [4].

Зависимость чувствительности от внешних факторов

Опыт эксплуатации рассматриваемых приборов показывает, что на их чувствительность существенно влияют солнечная активность и геомагнитная обстановка. В годы солнечного максимума (начало 2000-х годов) приходилось изыскивать резервы чувствительности для ИГА-1 (это делалось подбором микросхем). Также замечено, что чувствительность приборов зависит от оператора (чувствительность можно штатно регулировать), а также от сезона (например, конец июня плюс-минус два месяца каждый год наблюдается ухудшение чувствительности).

Интересный феномен проявляется в некоторых местностях: чувствительность исправных приборов в них падает до нуля, приборы не реагируют на объекты

⁵ См. также об использовании антенны ИГА-1 в одном из приборов В.В.Жукова - <http://medem.kiev.ua/page.php?pid=1557>

изучения, при этом те же самые экземпляры в другой местности работают исправно.

Эффект фантомов

Всеми рассматриваемыми приборами замечен эффект фантомов - геометрических областей с особенными свойствами, остающихся после работы торсионных генераторов, а также после продолжительного нахождения в них людей, либо активированной воды. В этом случае аномалии представляют собой неподвижные по отношению к земле области, в которых ИГА-1 фиксирует фазовые, ВЕГА - амплитудно-частотные, а SEVA - спинирующие аномалии (Рис. 3), которые держатся от нескольких часов до нескольких недель, постепенно "угасая".

Особенно эффектно в этом случае выглядит остаточное вращение электрического вектора, измеряемого при помощи SEVA, от фантомов в пространстве, где работал торсионный генератор А.А.Шпильмана (около суток после выключения генератора), а также от воды, активированной этим генератором [23].

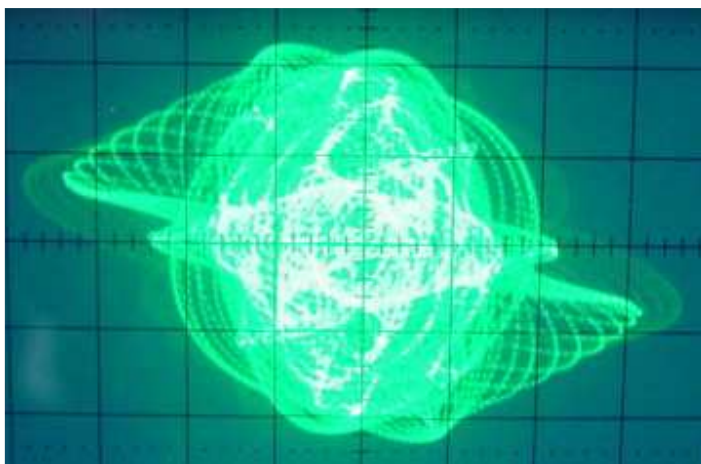


Рис. 3. Оциллограмма вращающегося электрического поля.

Эффект от водных потоков

Все приборы реагируют на водные потоки естественного и искусственного происхождения. Такими являются подземные потоки воды в местах геологического растяжения, вода в трубопроводах, движение воды в работающих вихревых установках, и даже простое переливание воды из ёмкости в ёмкость (материал ёмкости может быть любым).

Эффект "ментальной антенны"

Некоторые пользователи ИГА-1, обладающие выраженными экстрасенсорными способностями, сообщают о необычном способе работы с прибором: вместо перемещения самого прибора в исследуемую локальную область, оператор перемещает свой фокус внимания, и прибор реагирует, как если бы в исследуемую область переместили сам прибор⁶. Такой режим использования даёт, помимо множества вопросов, также дополнительную особенность прибора по отношению к типам операторов: наиболее объективные и воспроизводимые результаты измерений получаются у операторов, не обладающих выраженными экстрасенсорными способностями. Это существенно отличает работу ИГА-1 от работы с биолокационными рамками.

Внешняя электромагнитная подсветка

Авторами замечен эффект увеличения чувствительности при наличии "электромагнитной подсветки" - источника электромагнитного сигнала. Таким источником может выступать электрическая сеть помещения: при обесточивании помещения выраженность геопатогенных сеток уменьшается. Здесь также уместно упомянуть эффект снятия влияния электросети помещения на аномалии в помещении при установке на распределительный щит защитного устройства типа "Спинор" [20]. Аналогичные эффекты с «выключением» влияния геопатогенных зон с помощью статических торсионных генераторов приведены в [28].

Реакция на свет

Полированная антенна ИГА-1 является чувствительной к свету: освещение её отражённым солнечным светом приводит к отклонению стрелки (проборазы ИГА-1 имели защитное лаковое покрытие на антенне во избежание мешающих влияний от света).

"Эффект лампочки"

Эксперименты с построением амплитудного профиля линии ГПЗ показали, что, если в амплитудном минимуме рядом с прибором включить лампочку от карманного фонаря, то показания прибора увеличиваются, а в максимуме - наоборот, уменьшаются. Возможно, в данном случае идёт смещение линии ГПЗ.

⁶ Это метод аналогичен диагностике целителем по фантому (исследуется не сам пациент, а его фантом) и широко используется целителями, а также в методиках школы ДЭИР (Д.С.Верещагин).

Радиосигналы в ГПЗ

Всеми авторами устройств замечен феномен появления в геопатогенных сетках различных сигналов. При подключении аудиовыхода на ВЕГА удаётся детектировать модулированный сигнал техногенного происхождения, который замечен только в геопатогенных сетках (как в помещении, так и в поле). Этот сигнал представляет собой периодическую модуляцию несущего сигнала. Несущая - смесь гармоник 1200, 2400, 3600, ... Гц, модуляция идёт на частоте 150 Гц и представляет собой чередующиеся сигналы длиной 0,1 и 0,05 сек (Рис. 4, Рис. 5). Вне линий ГПЗ ни несущая, ни сигнал не прослушивается. Источник сигнала не идентифицирован.

В найденном с помощью ИГА-1 узле геопатогенной сетки методом радиопрослушивания селективным приёмником DEGEN замечен сигнал на частоте около 105 кГц, который исчезает при смещении приёмника из узла ГПЗ⁷. Также иногда прослушивается промышленная частота в ГПЗ более отчётливо, нежели в близлежащих точках.

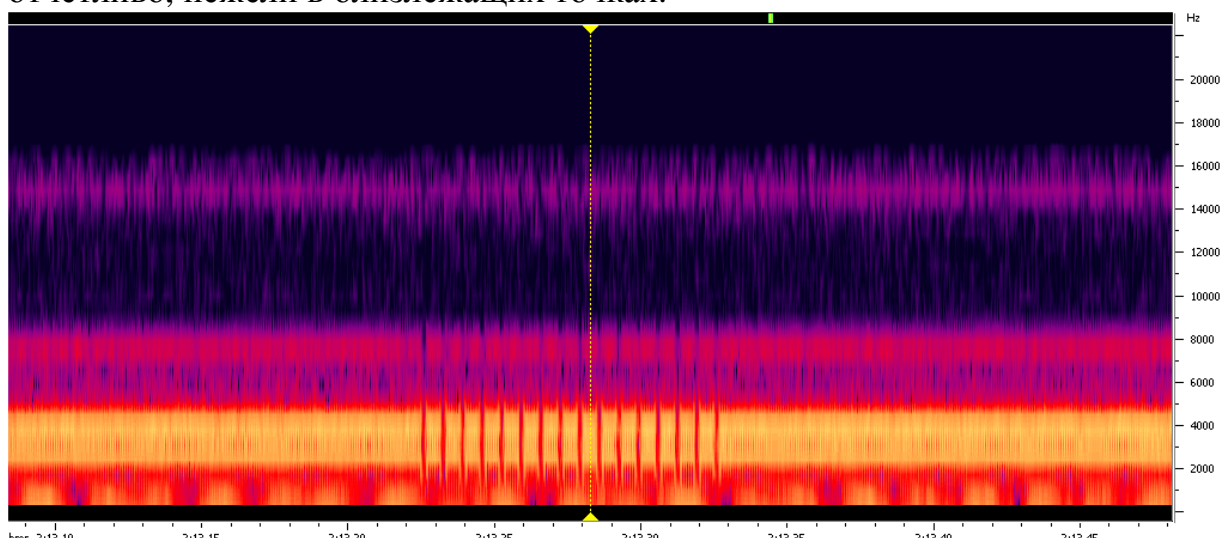


Рис. 4. Модулированный сигнал в ГПЗ (показан в частотном спектре). Виден сигнал длиной 0,1 сек.

⁷ Сигналы на частоте 105 кГц также принимались на территории древнего сарматского городища под Уфой и у комплекса дольменов в Кудепсте (г.Сочи), находящихся в зоне тектонического разлома.

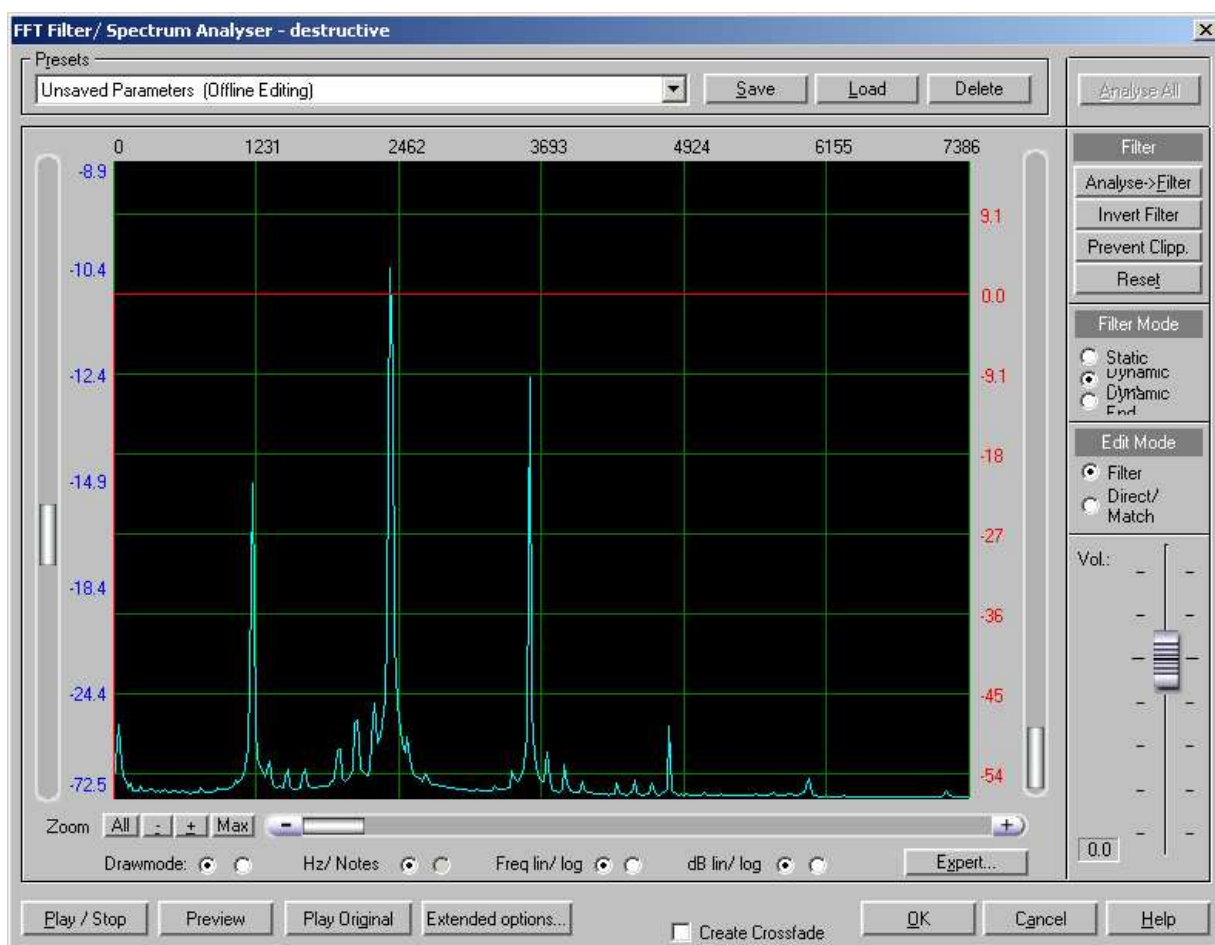


Рис. 5. Спектр несущей сигнала. Видны гармоники 1200, 2400, 3600 Гц.

Сигналы от мобильных телефонов

Родственный предыдущему эффект, проявляется в том, что характерные низкочастотные сигналы от вызова расположенного неподалёку мобильного телефона слышны на аудиовыходе ВЕГА только в том случае, если и ВЕГА, и моб. телефон расположены на линиях ГПЗ (на той же линии либо перпендикулярной). Ширина такой линейной "зоны приёма" - несколько см.

Также авторами замечено, что в аномальных областях повышается уровень сигнала базовых станций (замеряется по индикатору мобильного телефона), причём повышение уровня сигнала практически не зависит от высоты расположения моб. телефона.

Передача влияния защитных устройств через каналы сотовой связи

Эффект заключается в различии реакции ИГА-1 от мобильного телефона в режиме вызова с установленным защитным устройством «Спинор»

(<http://spinor.kiev.ua>), и от мобильного телефона без защитного устройства. Замечателен тот факт, что реакция отличается и в том случае, когда вызывающий телефон с защитным устройством и без него были на другом конце соединения, в г. Омске, а прибором ИГА-1 определялась реакция от незащищённого телефона во Франции [32].

Аналогичная реакция была замечена в локальных опытах с ВЕГА: при приближении «Спинора» к моб. телефону в режиме вызова реакция прибора по стрелочному индикатору уменьшалась. При этом использовалась антенна в виде цилиндрического конденсатора в магнитном поле (аналогичного излучателю в генераторах А.Е.Акимова, см. ниже).

Экранировка и заземление

При экранировке ВЕГА фольгой (Рис. 6) сохраняется работоспособность прибора по обнаружению ГПЗ и биополя (в данном случае незакрытой фольгой оставалась только шкала прибора).

В то же время при замене дюралевого корпуса ИГА-1 на пластмассовый его чувствительность возрастает, а бескорпусное исполнение имеет наивысшую чувствительность.

Заземление корпуса ИГА-1 и экрана ВЕГА улучшает чувствительность.



Рис. 6. Экранирование ВЕГА фольгой.

Вопросы, рассуждения и гипотезы

Данный раздел статьи содержит предварительный анализ рассмотренных эффектов. Большой частью совокупность этих эффектов порождает множество вопросов. Первый вопрос рождается при соотнесении размеров антенн и длин волн электромагнитного излучения в рабочем диапазоне приборов. Ясно, что для данных частот антенны приборов являются эквипотенциальными, и механизм приёма отличается и от классической четвертьволновой схемы, и от схем с заземлением, и от принципа работы магнитной антенн (тем более что экранировка приборов не приводит к исчезновению эффектов). Коаксиальная антенна ВЕГА также может привести к недоумению: как может электромагнитное излучение приниматься коаксиальной антенной? В то же время принципиальная взаимозаменяемость коаксиальной антенны ВЕГА и полированной антенны ИГА-1 косвенно указывают на то, что речь идёт о поведении антенны как конденсатора определённой топологии и размеров (цилиндрический конденсатор из двух различных по размеру и форме элементов).

Антенна SEVA, представляя собой квадрупольный конденсатор, детектирует

вращение вектора электрической напряжённости в ГПЗ и от биополя, и естественно предположить, что именно вращение является тем фактором, на который реагируют и ИГА, и ВЕГА. Т.е. электромагнитное излучение является "рабочим телом", на которое влияет интересующее нас гипотетическое неэлектромагнитное воздействие. Какой фактор может влиять на поведение электромагнитных волн, иметь при этом некоторое выделенное направление, быть связанным с вращением, и проявлять эффект фантомов?

Авторы считают, что рассмотренные эффекты указывают на необходимость привлечения понятий, выходящих за рамки классической электродинамики. Эффекты настойчиво говорят о том, что приборы реагируют на торсионное излучение. Но каков механизм преобразования торсионного сигнала в электрический?

Судя по всему, существует возможность влиять торсионным излучением на свойства электромагнитных волн. Механизм такого влияния пока не изучен. Известно влияние торсионного излучения на различные физические процессы (предположительно через спиновую подсистему вещества). Можно предположить, что торсионное излучение может также непосредственно действовать на спин электромагнитного излучения. Второй вариант: возможно, здесь необходима некоторая вещественная среда в качестве посредника. Например, в экспериментах с прохождением луча лазера через различные среды при влиянии экстрасенса на кювету с веществом было замечено изменение интенсивности луча [13]. При этом влияние замечалось только для определённых длин волн. Это указывает на то, что воздействие экстрасенса на среду приводило к резонансу в определённой частотной области. Другие результаты исследователей из ЛИТМО показывают, что воздействие экстрасенсов способно поворачивать плоскость поляризации луча лазера в жидкой среде, по-видимому, меняя соотношение концентраций лево- и правовращательных компонент растворов органических соединений.

Гипотеза 1. Воздействие торсионным излучением на материал антенн?

Если придерживаться линии объяснения через промежуточную среду, то появляется вопрос: на какую среду идёт воздействие в нашем случае? Возможно, торсионное излучение, модулированное частотами порядка 5 - 10 кГц, приводит к изменению электрических характеристик антенны, что и замеряется входными каскадами. Но на какую именно часть антенны идёт воздействие?

1) На материал проводника: воздействию торсионного излучения может подвергаться электронная подсистема металла. Против такой гипотезы говорит

тот факт, что воздействие торсионным излучением на твёрдые и жидкие среды обычно приводит к "насыщению" рабочего тела, так что оно перестаёт реагировать на внешнее излучение (эффект метастабильности). В случае же всех трёх приборов такого эффекта не замечено: по крайней мере, на самих антеннах насыщения не происходит.

2) На материал диэлектрика. Для всех трёх устройств диэлектриком выступает воздух, хотя для ВЕГА также применялась антенна из коаксиального провода с пластиковой изоляцией, с аналогичными результатами. Возможно, торсионное излучение влияет на вращательные степени свободы молекул воздуха, что может влиять на диэлектрическую проницаемость воздуха, а, значит, на ёмкость конденсатора-антенны. В случае когерентного вращения дипольных молекул (например, водяного пара) возможен также макро-эффект появления осцилляций электрического вектора. Изменение фазы электромагнитных волн, замеряемое с помощью ИГА-1, в данной гипотезе объясняется переходом электромагнитной волны между областями с разной диэлектрической проницаемостью.

Гипотеза 2. Поляризация электромагнитных волн при отражении?

Улучшение чувствительности при полировке антенны ИГА-1 даёт намёк на следующую гипотезу: проявляется поляризация электромагнитных волн при отражении от антенны (известно явление эллиптической поляризации плоскополяризованной волны при отражении от металла). При этом сразу же возникает вопрос о длинах волн (при влиянии полировки это должен быть оптический либо инфракрасный диапазон), а также о механизме преобразования эффекта поляризации в эффекты на рабочей частоте порядка килогерц. К тому же антенна ВЕГА работает и без полировки.

Гипотеза 3. Поляризация э.-м. волн торсионным излучением?

Рассмотрим теперь гипотезу непосредственного влияния торсионного излучения на спин электромагнитной волны. Вращение вектора электрического поля в составе электромагнитной волны - это поляризация. В случае квадрупольной антенны (SEVA) такая поляризация может исследоваться непосредственно. Оставив в стороне физическое обоснование влияния торсионного излучения на поляризацию, рассмотрим следствия этой гипотезы для рассматриваемых случаев. Чтобы поляризованная электромагнитная волна влияла на показания ИГА-1 и ВЕГА, необходим физический процесс, преобразующий вектор поляризации к параметрам осцилляции электрического заряда, которые и замеряются входными каскадами ИГА-1 и ВЕГА (фазовая и частотная модуляция). Существенным для такого процесса должно быть

возникновение переменного напряжения между двумя электродами антенны (чувствительность ИГА-1 - от единиц пиковольт), а для этого при таких размерах антенны и при такой частоте необходима несимметричность электродов по отношению к внешнему воздействию.

Один из вариантов - неодинаковые осцилляции электродов антенны, когда изменение внешнего возмущающего фактора по-разному сказывается на осцилляциях двух различных по форме и размеру электродов, и электрические цепи приборов тогда работают с разностными величинами. Здесь прослеживается некоторая аналогия с несимметричными крутильными весами, а также с мостовыми измерительными схемами, которые применял в своих исследованиях Н.А.Козырев.

Гипотеза 4. Обратный электроторсионный эффект?

В этой связи интересными также выглядят результаты В.Т.Шкатова при измерении с помощью торсиметров "тонких полей" вокруг коаксиальной линии с током и без тока [21]. Конфигурация стоячих неэлектромагнитных волн вокруг линии существенно зависит от того, запитана ли линия током. Не исключено, что это явление работает и в обратную сторону.

Ещё одним референсом для рассматриваемых эффектов является излучатель торсионного генератора А.Е.Акимова, который представляет собой цилиндрический конденсатор в магнитном поле [10, 11]. При подаче на обкладки этого конденсатора постоянного напряжения вектор Пойнтинга циркулирует в плоскости, перпендикулярной оси конденсатора [12]. При этом, как показывают эксперименты с торсионными генераторами такой конструкции, вдоль оси распространяется торсионное излучение. Возможно, эта циркуляция эквивалентна вращающейся массе в генераторах, основанных на механическом вращении, и в генераторах с вращающимся электромагнитным полем [17]. В случае обратимости этого эффекта торсионное излучение, направленное вдоль оси цилиндрического конденсатора в магнитном поле, может породить возникновение заряда на обкладках.

Для проверки этой гипотезы был осуществлён эксперимент с подключением на вход ВЕГА цилиндрического конденсатора, между обкладками которого располагался кольцевой постоянный магнит. Такая конструкция действительно реагировала на геопатогенные сетки и биополя, причём с большей чувствительностью, чем с оригинальной антенной. Также прибор стал реагировать на включение ЭЛТ-монитора на значительном расстоянии.

Гипотеза 5. Положительная торсионная обратная связь?

Одной из гипотез, высказанных в ходе обсуждения эффектов, является гипотеза возникновения положительной торсионной обратной связи (ПТОС, автор термина и гипотезы - В.Т.Шкатов). Согласно этой гипотезе, обсуждаемые приборы следует рассматривать не только как радиотехнические устройства, но как комплексы, обладающие собственной ближней конфигурацией спинового поля. Это поле взаимодействует со спиновыми полями окружения, и некоторым, пока неизученным, механизмом результат этого взаимодействия влияет на электронный тракт приборов. Изменение электрических параметров (в случае стрелочной индикации - и с механическими реакциями) порождает в свою очередь изменение собственной картины ближних спиновых полей. Не исключено, что приборы работают в таком режиме, когда такая обратная связь является положительной, что приводит к сверхчувствительности приборов именно на тонкие поля⁸.

Эта гипотеза может помочь в объяснении эффекта "ментальной антенны", а также сложности в изготовлении приборов ИГА-1 сторонними производителями из уже готовых деталей - по непонятным причинам хорошо работают только приборы, собранные и настроенные оригинальной фирмой-изготовителем. Возможно, в данном случае создание некоторой конфигурации спинового поля, своеобразного "тонкого тела" прибора, требует сложно контролируемых условий, которые воспроизводятся далеко не всегда. Об этом же говорит эффект "тренировки" некоторых торсионных генераторов, когда устройство как бы учится работать при заданных характеристиках управляющего напряжения [22], а также сложности при повторении конструкций торсионных генераторов не их авторами [19].

Гипотеза б. Антенна - радиочастотный резонатор?

Гипотеза, которая привлекает классические радиотехнические понятия и рассматривает антенны ИГА-1 как резонатор, представленный схемой на Рис. 7. Частота такого резонатора должна быть порядка сотен МГц. На первый взгляд, эта гипотеза противоречит тому факту, что приборы работают на частоте нескольких килогерц. Но если предположить, что существует процесс генерации низкочастотных колебаний из радиочастоты, то данная гипотеза, подкреплённая аналогичными результатами П.П.Гаряева при экспериментах с облучением лазером препаратов ДНК (появления радиосигналов в ближней зоне

⁸ Сам прибор ИГА-1, имея в усилительном тракте два интегратора (что характерно для генераторных схем по теории авторегулирования), при включении вначале вводится в режим генерации, а потом плавно выводится из него, т.е. работа на границе устойчивости обеспечивает большое усиление (принцип регенеративных радиоприемников).

препаратов) может быть продуктивной. То же можно сказать про гипотезу, затрагивающую полировку антенны (поляризация света), но в этом случае для её подтверждения необходимо показать появление радио- или низкочастотных гармоник при отражении света от антенны ИГА-1.

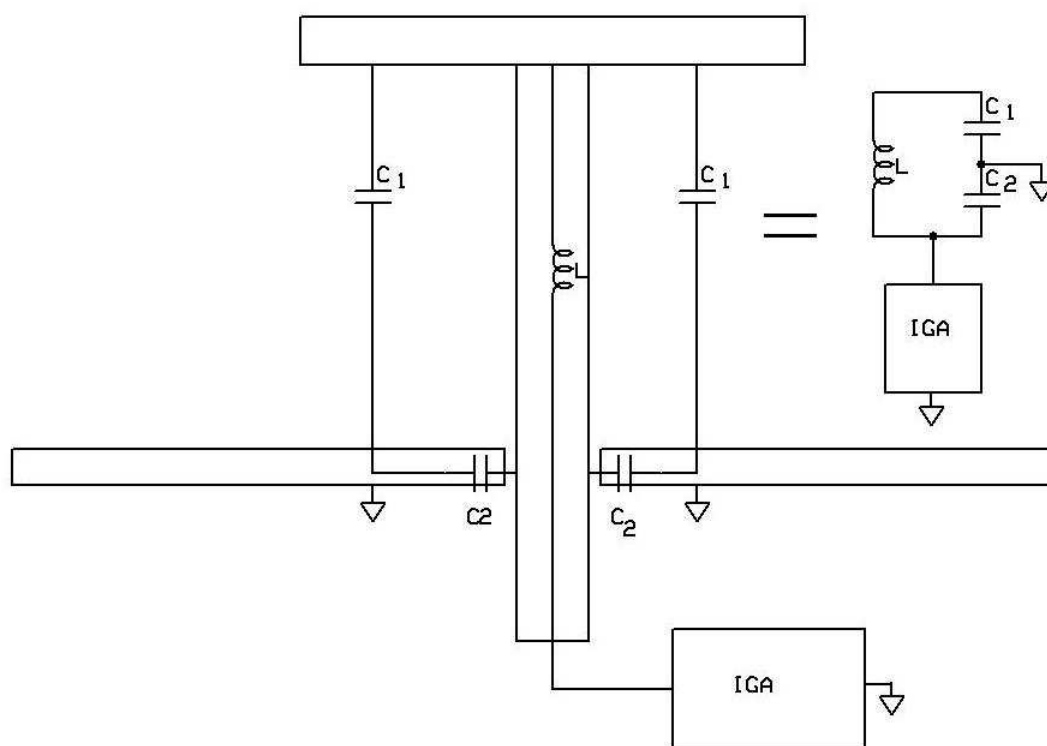


Рис. 7. Эквивалентная схема антенны ИГА-1 как радиочастотного резонатора.

Гипотеза 7. Эффект Казимира?

Если предположить, что торсионные поля приводят к возмущению на уровне физического вакуума, то изменения в гармониках этих возмущений могут влиять на параметры эффекта Казимира - взаимодействие близко расположенных пластин. Хотя электроды антенн приборов расположены на значительном расстоянии друг от друга, но поверхности раздела материалов на границе металл/оксидная плёнка могут реагировать изменением ширины энергетических зон в этой области, что может служить чувствительным резонатором. Этот эффект может работать в поверхностном слое полированной антенны, а также в р-п-переходах полупроводниковых компонент приборов. В работах В.П.Орешкина [25, 26, 27] показано существование для полупроводников резонансных частот в десятки-сотни кГц. Это порождает гипотезу о том, что чувствительными элементами приборов является не только

внешняя антенна, но и p-n-переходы в электронике приборов.

В работах А.В.Боброва [15] показано существование воздействия спиновых полей материальных объектов на токовые датчики на двойных электрических слоях. Не исключено, что мы наблюдаем аналог такого воздействия, но без жидкой фазы.

И ещё одно предположение, связанное с флуктуациями вакуума. Исследования принстонской лаборатории аномальных явлений показывают, что мыслями (намерением) можно повлиять на генераторы случайных чисел [29]. Эти эффекты также проявляются в экспериментах с животными [30]. Возможно, это даёт направление для объяснения механизма эффекта «ментальной антенны» через управление флуктуациями физического вакуума с помощью сознания оператора.

Гипотеза 8. Скалярное излучение?

В работах Г.И.Шипова одним из следствий Теории Физического Вакуума является новая компонента силового взаимодействия электрических зарядов: скалярное поле, пропорциональное скорости изменения заряда-источника и скорости движения пробного заряда. Эксперименты с однопроводной передачей энергии и уже применяемые на практике однопроводные технологии говорят о реальности новых (хорошо забытых со времён Теслы) явлений, не имеющих должного объяснения в классической электродинамике [18]. Перспективным для объяснения работы приборов ИГА-1 и ВЕГА может оказаться привлечение новых компонент электромагнитного поля. Хотя работа рассматриваемых приборов не объясняется классической электродинамикой, есть все предпосылки найти объяснение их работы в альтернативных теориях, расширяющих стандартные.

Гипотеза 9, акустическая.

Возвращаясь к длине волны электромагнитных волн килогерцовых частот, а также к чувствительности размеров коаксиальной антенны ВЕГА к детектируемым феноменам, можно предположить, что частота воздействующего фактора – это действительно килогерцы, природа фактора неэлектромагнитна, а длина волны этого фактора соизмерима с размерами антенны. Это даёт повод посчитать скорость распространения этого фактора: он оказывается соизмерим со скоростью звука.

В предварительных экспериментах с акустическим пьезоизлучателем на частоте 8 кГц был замечен эффект интерференционной картины с шагом 15-20 см,

прибор ВЕГА показывал такую пространственную сетку стрелочным индикатором.

Конечно, гипотеза о чисто механическом возбуждении антенн как конденсаторного микрофона не объясняет и половины описанных феноменов, но даёт направление для рассуждений об акустико-электрической генерации электромагнитных волн, и как следствие – вторичного торсионного излучения свободными зарядами в воздухе. Здесь стоит вспомнить метод очищения помещений (стирания фантомов) громкими звуками.

Более развитый аналог этой гипотезы с привлечением интерференции акустических поверхностных колебаний приведён в [33].

Новый способ поиска ГПЗ?

Самым, пожалуй, интригующим в процессе настоящей работы было открытие А.А.Андреевым радио-сигналов в линиях ГПЗ, которые не прослушиваются вне этих линий. Причём форма линий - «волноводов», где прослушивались сигналы, повторяет типичные геопатогенные сетки – шириной около 20 см, расстояние между линиями около 2 м (явление было первоначально замечено в помещении, и затем подтверждено «в поле»). При такой частоте несущей (килогерцы) речь не может идти об интерференции электромагнитных волн, идея классических волноводов также не подходит. Налицо некоторый новый процесс, ранее в литературе не описанный.

Более того, авторам не удалось идентифицировать сигналы ни с одной известной системой радиосвязи (включая связь на крайне низкой частоте – КНЧ, и очень низкой частоте – ОНЧ, см., например, <http://www.vlf.it/russianvlf/russianvlf.htm>, а также http://ru.wikipedia.org/wiki/Связь_с_подводными_лодками), и в то же время не вызывает сомнения техногенность (антропогенность) этих сигналов: частоты, кратные 1200 Гц, используются в цифровых линиях связи, частота модуляции несущей точно 150 Гц (анализ фазы фронтов сигнала показывает, что модуляция, скорее всего, получается делением несущей частоты), а длина сигналов - ровно 0,05 и 0,1 сек - также не случайна.

То же явление, по-видимому, наблюдается в направленной передаче сигналов от мобильного телефона по линиям ГПЗ, а также при радиопрослушивании цифровых радиосигналов в узле пересечения геопатогенных линий (широкий спектр до сотен килогерц, максимум 5-10 кГц, вне ГПЗ не прослушивается).

Чтобы создать модельное представление об этом явлении, необходимо

предположить механизм образования таких линий передачи сигналов. Одной из гипотез может быть резонансное неэлектромагнитное возбуждение среды, приводящее к колебаниям её диэлектрических свойств (см. раздел «Гипотеза 1» – колебания свойств воздуха как диэлектрика антенны-конденсатора). Однако то, что радиосигналы прослушиваются и обычными приборами – селективным радиоприёмником и нановольтметром с антенной от ИГА-1, говорит в пользу следующей гипотезы: сетки ГПЗ выступают как проводники для электромагнитных волн. Пока нельзя сказать, играет ли здесь роль воздух, возбуждается физический вакуум, или другая, ещё неустановленная «тонкая» среда, но определённо этот способ претендует на широкое применение при поиске геопатогенных зон.

Заключение

Данная коллективная работа не претендует на законченность проведённых исследований, и не содержит однозначных выводов. В ней проведён начальный этап анализа эффектов от трёх приборов, с помощью которых в настоящее время идут активные исследования "тонких полей" различных объектов. Этот этап заключается в выдвижении гипотез, основным методом при этом – коллективный мозговой штурм и поисковые эксперименты в экспресс-режиме. Некоторые гипотезы могут соседствовать и дополнять друг друга, часть – противоречат друг другу.

Ясно, что необходимо интенсифицировать эксперименты в обозначенном направлении, чтобы проверить выдвинутые гипотезы и, возможно, выдвинуть новые. Это требует взаимодействия и кооперации исследователей, что является нормой в научном сообществе. Данная работа показывает продуктивность такого взаимодействия: в мозговом штурме, предшествующем данной статье, принимали активное участие ведущие специалисты в данной области из России, Украины, Франции, Тайланда, США.

Авторы выражают признательность В.Т.Шкатову, А.В.Боброву, Г.И.Шипову, А.Русанову, А.Р.Павленко за плодотворные дискуссии.

Литература

1. Кравченко Ю.П., Калашченко Н.В. К вопросу о регистрации электромагнитного излучения человеческого организма в целях медицинской диагностики // Парапсихология и психофизика №4 (16) 1994 г. ([http://aeninform.org/sites/default/files/pp_rus_archivs/94-4/43-49\(4-94\).rtf](http://aeninform.org/sites/default/files/pp_rus_archivs/94-4/43-49(4-94).rtf))
2. Кравченко Ю.П., Савельев А.В. Разработка и применение устройств для

измерения сверхслабых полей естественного излучения // Материалы конференции «Торсионные поля и информационные взаимодействия – 2009» (<http://www.second-physics.ru/sochi2009/pdf/p99-113.pdf>)

3. Кравченко Ю.П., Савельев А.В. Опыт приборных исследований торсионных генераторов // Материалы конференции «Торсионные поля и информационные взаимодействия – 2010» (наст. сборник).
4. Андреев А.А., Быков С.А. Прибор В.Е.Г.А. и применение его для исследования ГПЗ, ауры и тонкополевых структур // Материалы конференции «Торсионные поля и информационные взаимодействия – 2010» (наст. сборник).
5. Krinker M., Pismenny L. What stands beyond Dowsing and Feng Shui? – New York 2006.
6. Krinker M., Pismenny L. Method And Apparatus For Detecting And Analyzing Pathogenic Zones, USPTO Publication US-2007-0015990-A1, 2007, USA. Available: www.uspto.gov
7. <http://www.freepatentsonline.com/y2007/0015990.html>
8. M.Krinker. Spinning Electric Vector Analyser, SEVA. Theory of Operation and Experimental Test. Сборник: Биофизический Метод. Современные Исследования. МНТРЭС, М.2008, с.5-31.
9. M.Krinker, A.Goykadosh. Mapping Geo-Pathogenic Zones and Required Instrumentation, IEEE LISAT2010 Conference. May 2010.
10. Патент СССР «Способ коррекции структурных характеристик материалов и устройство для его осуществления (SU-1748662)» (http://www.axion.xost.ru/Pa/SU_1748662.pdf)
11. Шипов Г.И. Теория физического вакуума в популярном изложении. Развитие программы Единой Теории Поля, выдвинутой А.Эйнштейном. - Кириллица-1, 2002. 128 с. (http://fizvakum.narod.ru/sod_fr.htm)
12. Тамм И.Е. Основы теории электричества. - М., Наука, 1989.
13. Дульнев Г.Н. В поисках нового мира. Описание научных экспериментов по изучению экстрасенсорных способностей. – Весь, 2004, 286 с. (http://www.second-physics.ru/lib/books/dulnev_v_poiskah_novogo_mira.zip)

14. Горяев П.П., Тертышный Г.Г., Готовский Ю.В. Трансформация света в радиоволны. III международная конференция «Теоретические и клинические аспекты применения адаптивной резонансной и мультirezонансной терапии». «ИМЕДИС». Москва. 18-20 апреля 1997г. с.303-313. (<http://www.wavegenetics.jino-net.ru/zip/Transform.zip>)
15. Бобров А.В. Взаимодействие спиновых полей материальных объектов // Материалы конференции «Торсионные поля и информационные взаимодействия – 2009» (<http://www.second-physics.ru/sochi2009/pdf/p76-86.pdf>)
16. Шипов Г.И. Физический вакуум, торсионные поля, квантовая механика и эксперименты Н.Тесла (http://shipov.com/files/090310_vamuum.pdf)
17. Вершинин И.Н., Вершинин Н.П. Аппараты с вращающимся электромагнитным полем. – Сальск 2007.
18. Кулигин В.А., Корнева М.В., Кулигина Г.А., Большаков Г.П. Безинерциальные заряды и токи. Часть 2. Эксперимент Авраменко // Научно-техническая библиотека SciTecLibrary (<http://www.sciteclibrary.ru/rus/catalog/pages/3095.html>)
19. Курапов А.С. Частное сообщение.
20. Шипов Г.И. Частное сообщение.
21. Шкатов В.Т. Детектирование торсионных полей (http://www.second-physics.ru/lib/articles/shkatov_detect.pdf)
22. Кренев Г.А. Комментарии к опытам Шахпаронова И.М. (http://www.sinor.ru/~bukren9/comm_shah.htm)
23. Axion Generation Test Video (<http://www.youtube.com/watch?v=xvRQLLHzbcA>)
24. А.С. (СССР) N 321662. Способ исследования электрических полей поверхностей (С.М.Боровский, Ю.П.Кравченко и др.), 1990 г.
25. Орешкин П.Т. // Изв. Вузов СССР, Физика.-1981.N 9, -с.136-137.
26. Орешкин П.Т. Явление резонансной релаксации заряда в физических

барьерных слоях. // Сборник «Пути повышения стабильности и надежности микроэлементов и микросхем», Рязанский радиотехнический институт, Рязань, 1988, с.4-35;

27. Орешкин П.Т., Лактюшкин О.Н. Барьерные слои как резонаторы на глубоких центрах, Там же, с.35-40.
28. Русанов А. О геотехногенном воздействии на людей и животных базовых станций и ветрогенераторов, находящихся на большом расстоянии. Использование статических торсионных генераторов для устранения этих воздействий // Доклад на совещании по торсионным генераторам и датчикам, Москва, 2010 г. (<http://www.iga1.ru/prezentmoscow.pdf>)
29. <http://www.princeton.edu/~pear/publications.html>
30. R. Peoc'h. Psychokinetic Action of Young Chicks on the Path of An Illuminated Source // Journal of Scientific Exploration, Vol. 9, No. 2, pp. 223-229, 1995 (http://www.scientificexploration.org/journal/jse_09_2_peoch.pdf)
31. <http://spinor.kiev.ua/index.php?p=44>
32. Протокол совместного испытания защитного устройства пользователя мобильного телефона "Spinor", г. Омск, Россия, Le Conquet, France, 18 октября 2005 г. (<http://www.spinor.kiev.ua/ua/index.php?p=42>)
33. M. Krinker. On origination of the global grid network // Материалы конференции «Торсионные поля и информационные взаимодействия – 2010» (наст. сборник).